

ارزیابی مواجهه‌های نزدیک به تصادم شناورها

با در نظر گرفتن شناورهای غیرکنوانسیونی

در شمال شرقی جزیره‌ی قشم

رضا ادراکی (دانشجوی کارشناسی ارشد)

روزبه پناهی (استادیار)

حسن اکبری^{*} (استادیار)

دانشکده‌ی هندسی عمران و محیط زیست، دانشگاه تربیت مدرس

سعید خورسندی (کارشناس)

مهدي داشجو (کارشناس)

سازمان بنادر و دریانوردی

مهمشنسی عمان شرف، زمستان (۱۳۹۴)، دوری ۲ - ۶، شماره ۲ / ۳، ص. ۱۱۰-۱۱۴، (پادشاهی فقیر)

تصادم شناورها از مهم‌ترین سوانح دریایی است که این‌ی تردد شناورها به ویژه در تنگه‌ها، آبراهه‌ها و آب‌های ساحلی را تهدید می‌کند. به منظور پیشگیری از وقوع تصادم، ارزیابی مواجهه‌های نزدیک به تصادم حائز اهمیت است. داده سیستم شناسایی خودکار، امکان ارزیابی مواجهه‌های نزدیک به تصادم را در کشتی‌های باری و نفتی فراهم می‌کند. با این حال به علت عدم دسترسی به داده، تاکنون تحقیقات کی درباره ارزیابی مواجهه‌های نزدیک به تصادم شناورهای فاقد این سیستم انجام شده است. از این رو مقاومتی خواهد بر روی ارائه‌ی مدلی به منظور شبیه‌سازی مونت‌کارلو تمرکز دارد. همچنین برای تعیین تعداد مواجهه‌های نزدیک به تصادم مدلی بر اساس نظریه‌ی دامنه‌ی این فازی ساخته شده است. در انتها، مواجهه‌های نزدیک به تصادم در دو حالت بدون و با در نظر گرفتن شناورهای فاقد سیستم شناسایی خودکار ارزیابی و نتایج مقایسه می‌شود.

reza.edraki@modares.ac.ir
rpanahi@modares.ac.ir
akbari.h@modares.ac.ir
saeidkhorsandi@yahoo.com
mdaneshjou@yahoo.com

وازگان گلیدی: مواجهه‌های نزدیک به تصادم، شناورهای غیرکنوانسیونی، سیستم شناسایی خودکار (AIS)، شبیه‌سازی مونت‌کارلو.

۱. مقدمه و پیشینه‌ی تحقیقات

در طی دهه‌های گذشته برای تعیین تعداد مواجهه‌های نزدیک به تصادم مدل‌های مختلفی ارائه شده است. شاخص‌های کلاسیک ریسک یعنی فاصله‌ی نزدیکترین نقطه‌ی مجاورت^۱ و زمان رسیدن به نزدیکترین نقطه‌ی مجاورت^۲ در بسیاری از تحقیقات مرتبط با ریسک تصادم کشتی‌ها به عنوان معیاری برای تعیین مواجهه‌های نزدیک به تصادم استفاده شده است که این معیارها بر اساس داده‌های موقعیت، سرعت و زاویه‌ی مسیر کشتی‌ها محاسبه می‌شوند.^[۱] لتاوت (۲۰۱۵) زمان رسیدن به فاصله‌ی این^۳ را به عنوان جایگزینی برای زمان رسیدن به نزدیکترین نقطه‌ی مجاورت ارائه کرد.^[۲] همچنین سلاچیتسکی و همکاران (۲۰۱۶) نقص دامنه‌ی این^۴ و زمان رسیدن به آن^۵ را به عنوان جایگزینی برای شاخص‌های کلاسیک ریسک ارائه کردند.^[۳] گروهی دیگر از مدل‌ها بر اساس جریان ترافیکی و ویژگی‌های آن (مثل حجم و سرعت و توزیع مکانی و...) و ویژگی‌های شناور (بعد و سرعت) و قطر تصادم یعنی حداقل فاصله‌ی بین دو کشتی که هنوز می‌توان با انجام مانور فرار از تصادم جلوگیری کرد، تعداد مواجهه‌های نزدیک به تصادم را تعیین می‌کنند.^[۴-۶] همچنین از

صنعت حمل و نقل دریایی نقش مهمی در تجارت و اقتصاد جهان دارد و تقریباً ۹۵٪ جابه‌جایی کالا از طریق دریا صورت می‌گیرد. از این رو ناوبری امن کشتی‌ها اولویت ذی‌نفعان این تجارت شامل مقامات دریایی، صاحبان کالا، شرکت‌های حمل و نقل و شرکت‌های بیمه محسوب می‌شود. یکی از مهم‌ترین سوانحی که امیت تردد کشتی‌ها را به خطر می‌اندازد، تصادم بین کشتی‌ها است. از آن‌جا که تعداد سوانح دریایی واقعی ناچیز است، امکان ارزیابی احتمال رخداد این سوانح بر اساس آمارهای پیشین دشوار است. بنابراین ارزیابی مواجهه‌های نزدیک به تصادم بر اساس داده‌های ترافیکی کشتی‌ها جایگزینی مناسب برای ارزیابی تصادم واقعی بین کشتی‌هاست. در واقع، مواجهه‌های نزدیک به تصادم نشان‌دهنده کشتی‌هایی است که در مسیر تصادم قرار دارند که در صورتی عدم مانور فرار تصادم رخ خواهد داد.

* نویسنده مسئول
تاریخ: دریافت ۲ / ۷ / ۱۳۹۸، اصلاحیه ۱ / ۱۳۹۹، پذیرش ۱۰ / ۳ / ۱۳۹۹.

جدول ۱. مدل‌های دامنه‌ی ایمن.

عامل انسانی	CO REGS	زرافک	آبر و هوا	نقع تصادم	مانورینگری	سرعت کشته	طول کشته	بدل
								فوچی و تانکا [۱۲] (۱۹۷۵)
								گودین [۱۰] (۱۹۷۵)
								کولدول [۱۳] (۱۹۸۳)
								پیتریو کووسکی [۳۰] (۲۰۰۸)
								پیتریو کووسکی اوربیاز [۱۵] (۲۰۰۹)
								ونگ و همکاران [۱۶] (۲۰۲۰)
								حسن و همکاران [۳۱] (۲۰۱۳)
								راسون و همکاران [۳۲] (۲۰۱۴)
								ونگ و شین [۱۸] (۲۰۱۶)
								لیو و همکاران [۳۳] (۲۰۱۶)
								دین و ایم [۳۴] (۲۰۱۶)

۱. مفهوم و مطالعه ۲. مواد و روش‌ها

برای مطالعهی حاضر منطقه‌ی در شمال تنگه‌ی هرمز در نظر گرفته شده است. تنگه‌ی هرمز آب راهی است بین استان هرمزگان ایران و استان مسندم^{۱۰} عمان که دریای عمان را به خلیج فارس متصل می‌کند. این گذرگاه یکی از راهبردی‌ترین مسیرهای بین‌المللی کشتی رانی در جهان بهشمار می‌آید. مطابق شکل ۱ منطقه‌ی موردنظر مطالعه، منطقه‌ی با طول جغرافیایی بین ۲۶ درجه و ۵۱ دقیقه تا ۲۷ درجه و ۹ دقیقه و عرض جغرافیایی بین ۵۶ درجه و ۱۱ دقیقه تا ۵۶ درجه و ۳۰ دقیقه با مساحت تقریبی ۳۹۸ کیلومتر مربع است. که محسوسه بین جزایر قشم، لارک و هرمز است. دو بندر مهم تجاری ایران در نزدیکی این منطقه قرار دارند: بندر شهریاد، بزرگ‌ترین بندر تجاری ایران، در شمال غربی این منطقه قرار گرفته است و بندر شهریاد باهنر که در شمال این منطقه قرار دارد و دارای ناوگان شناورهای سنتی است که در این مقاله مورد بررسی قرار می‌گیرند.

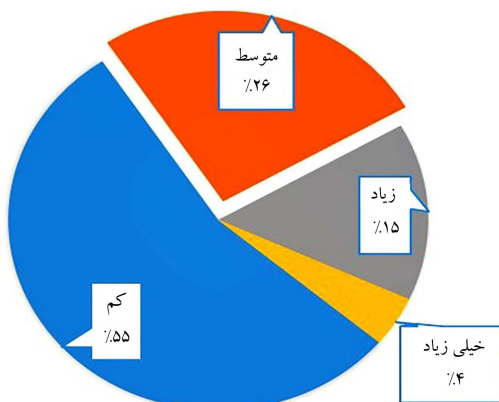
AIS ۲۰۲۰ داده‌ها

سازمان بین‌المللی دریانوردی (IMO) از سال ۲۰۰۲ کشتی‌های مشمول کنوانسیون بین‌المللی، اینمه، حان افاده در دریا (سولاس)، که در این مطالعه به اختصار کشته‌های

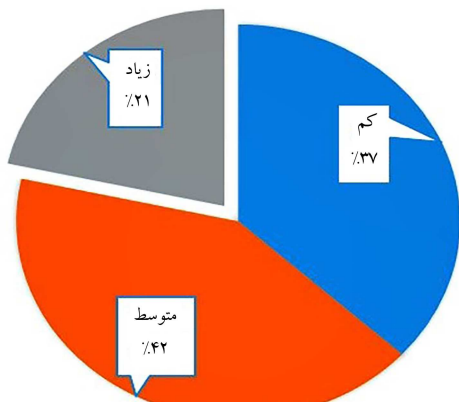
مفهوم دامنه‌ی این برای تعیین مواجهه‌های نزدیک به تصادم استفاده می‌کنند. دامنه‌ی این ناحیه‌ی از اطراف شناور است که ناوبر تمایل دارد از شناورهای دیگر و اجسام ثابت خالی بماند.^[۱۰] عامل‌های مؤثر در تعیین اندازه و شکل دامنه‌های این شامل عامل‌های مرتبط با کشته (طول، سرعت و قابلیت مانور کشته) و عامل‌های مرتبط با منطقه‌ی دریابی یا محیط (نوع تصادم، شرایط آب و هوایی، شرایط ترافیکی، قوانین و عوامل انسانی) است.^[۱۱] عامل‌های مؤثر در مدل‌های رایج دامنه‌های این در جدول ۱ مقایسه شده‌اند. به‌منظور استفاده از دامنه‌ی این در تعیین تعداد مواجهه‌های نزدیک به تصادم دو رویکرد کلی وجود دارد. در رویکرد اول برای یکی از جفت کشته‌ی دامنه‌ی این تعیین می‌شود و نقش آن توسط کشته دیگر معیاری برای تعیین مواجهه‌ی نزدیک به تصادم است.^[۱۲-۱۳] در رویکرد دوم برای هر دو کشته دامنه‌ی این تعیین می‌شود و هم‌پوشانی دامنه‌ها معیاری برای تعیین مواجهه‌ی نزدیک به تصادم است.^[۱۴] همچنین از شاخص‌های کلاسیک ریسک یعنی فاصله‌ی نزدیک‌ترین نقطه‌ی مجاورت و زمان رسیدن به نزدیک‌ترین نقطه‌ی مجاورت به عنوان معیاری برای ارزیابی مواجهه‌های نزدیک به تصادم استفاده می‌شود. سیستم شناسایی خودکار^۶ در طیف وسیعی از تحقیقات مرتبط با تعیین مواجهه‌های نزدیک به تصادم، بهویه در آبراهه‌های شلوغ، استفاده می‌شود.^[۱۵] رانگ و همکاران (۲۰۱۶) تابعی برای شناسایی مواجهه‌های نزدیک به تصادم با در نظر گرفتن ۴ عامل فاصله‌ی نسبی، سرعت نسبی، جهت‌گیری نسبی، و اندازه‌ی کشته، ارائه دادند.^[۱۶] بعد این تابع بر اساس

جدول ۲. گروه‌بندی سرعت شناورها.

طبقه‌بندی	محدوده سرعت (کیلومتر بر ساعت)
کم	۳ تا ۱۰
متوسط	۱۰ تا ۱۴
زیاد	۱۴ تا ۲۳
خیلی زیاد	۹۹ تا ۲۳
استثنای	۹۹ از پیش

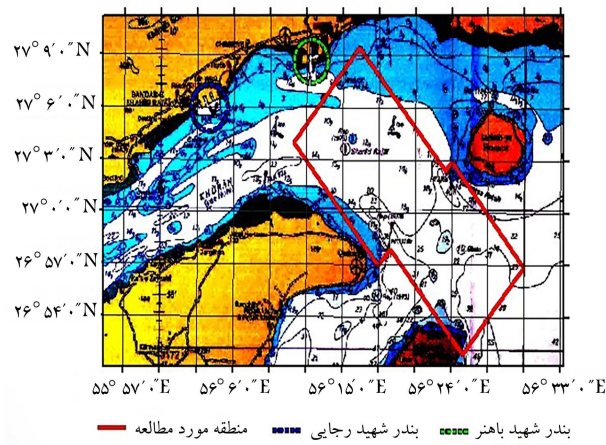


شکل ۳. نمودار توزیع سرعت لحظه‌یی شناورها در منطقه‌یی مورد مطالعه.

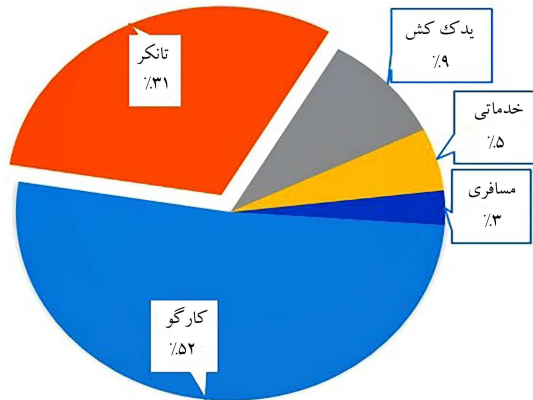


شکل ۴. نمودار توزیع طول شناورها در منطقه‌یی مورد مطالعه.

شناورها از نظر طول به ۳ گروه تقسیم می‌شود: شناورهای کوچک با طول کمتر از ۱۲۰ متر، شناورهای متوسط با طول بین ۱۲۰ تا ۲۰۲ متر و شناورهای بزرگ با طول بیشتر از ۲۰۲ متر. مطابق شکل ۴، ۴۲٪ شناورها با اندازه‌یی کوچک، ۳۷٪ با اندازه‌یی متوسط، ۲۱٪ با اندازه‌یی بزرگ در حال تعدد هستند. در ترافیک دریایی جهت حرکت شناورها با زاویه‌یی سنتجیده می‌شود که قطب شمال در جهت عقربه‌های ساعت با مسیر حرکت شناور می‌سازد که به آن course over ground گفته می‌شود. مطابق جدول ۳ جهت حرکت شناورها به ۸ گروه تقسیم می‌شود. که بر طبق شکل ۵، جهت شمال غربی با ۱۸٪ و جهت جنوب شرقی با ۱۷٪ بیشترین سهم را در ترافیک منطقه دارند. جهت‌های شمال و غرب و شرق و جنوب به ترتیب با ۱۴٪ و ۱۳٪ و ۱۲٪ و ۱۰٪ در رتبه‌های بعدی قرار دارند. دو جهت جنوب غربی و شمال شرقی هر کدام با ۹٪ کمترین سهم را در ترافیک منطقه دارند.

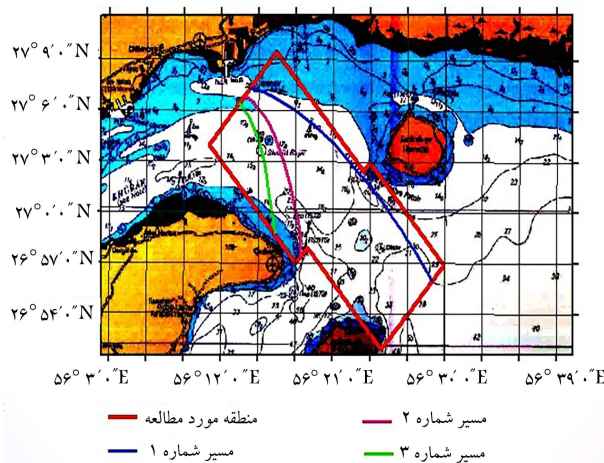


شکل ۱. منطقه‌یی مورد مطالعه.



شکل ۲. نمودار توزیع شناورها در منطقه‌یی مورد مطالعه.

کنوانسیونی نامیده می‌شود، شامل کشتی‌های باری بزرگ‌تر از GT ۵۰۰، همه‌یی کشتی‌های بزرگ‌تر از GT ۳۰۰ که اقدام به سفر بین‌المللی می‌کنند و همه‌یی کشتی‌های مسافری را ملزم به نصب سیستم شناسایی خودکار (AIS) کرد.^[۲۵] اطلاعات AIS از طریق امواج رادیویی با ساماندهی بالا^[۱۱] بین دو کشتی یا بین کشتی با ساحل و همچنین با فتاوری‌های جدید بین کشتی‌ها و ماهواره‌ها منتقل می‌شود. اطلاعات منتقل شده شامل دو دسته اطلاعات ایستا و پویاست که از مهم‌ترین اقلام اطلاعات می‌توان به سرعت شناور، نام شناور، موضع شناور^[۱۲]، بعداد شناور، کد MMSI، شماره‌ی IMO و راژه‌یی بین قطب شمال با مسیر شناور^[۱۳] اشاره کرد.^[۲۶] در این مطالعه از داده‌های AIS یک ماهه (ماه جولای ۲۰۱۸) استفاده شده است. این داده‌ها مشتمل بر ۸۷۲۴ داده‌ی ضبط شده برای ۱۶۹ کشتی است. شناورهای در حال تعدد در منطقه‌یی مورد مطالعه به ۵ گروه تقسیم می‌شوند: کارگوهای، تانکرهای، کشتی‌های مسافری، یارک‌کش‌ها و شناورهای خدماتی؛ مطابق شکل ۲ کارگوهای با ۵۲٪ بیشترین سهم را از ترافیک منطقه‌یی مورد مطالعه دارند. بعد از کارگوهای، تانکرهای با ۳۷٪ در رتبه‌یی بعدی قرار دارند. همچنین یارک‌کش‌ها ۹٪، کشتی‌های خدماتی ۵٪ و کشتی‌های مسافری ۳٪ ترافیک منطقه را تشکیل می‌دهند. قابلیت مانور شناورها با تغییر سرعت تغییر می‌کند. مطابق جدول ۲ سرعت شناورها به ۴ گروه تقسیم می‌شود. که بر طبق شکل ۳، ۵۵٪ کل داده‌های AIS در منطقه با سرعت آهسته و ۲۶٪ با سرعت متوسط و ۱۵٪ با سرعت زیاد و ۴٪ با سرعت خیلی زیاد است.



شکل ۶. مسیر شناورهای سنتی در منطقه‌ی مورد مطالعه.

جدول ۴. مشخصات لنج باری.

سرعت میانگین	آبخور	عرض	طول
(گره دریابی)	(متر)	(متر)	(متر)
۱۰	۳,۳۱	۱۱,۹۳	۳۶,۵

۱. با توجه به اطلاعات ورود/خروج شناورها از بندر شهید باهنر، زمان حرکت^{۱۷} شناور در مرازهای منطقه‌ی مورد مطالعه به تدقیک روز تعیین می‌شود؛

۲. منطقه‌ی مورد مطالعه به تعداد نواحی مساوی تقسیم می‌شود. در هر ناحیه موقعیت شناور به صورت مشخصات جغرافیایی طولی و عرضی^{۱۸} به صورت تصادفی، با استفاده از روش شبیه‌سازی مونتکارلو (رجوع به بخش ۱۰.۳.۲) تعیین می‌شود؛

۳. رازیه‌ی معرف مسیر (COG)^{۱۹} بهزای هر دو مشخصات متوالی (تعیین شده با استفاده از روش شبیه‌سازی مونتکارلو) با روابط زیر محاسبه می‌شود:

$$X = x_{i+1} - x_i, \quad Y = y_{i+1} - y_i \quad (1)$$

$$\theta = \arctg \left| \frac{Y}{X} \right|, \quad \alpha = \text{Degree}(\theta)$$

$$\begin{cases} \text{if } X > 0, Y > 0 \rightarrow cog = \alpha - 90 \\ \text{if } X > 0, Y < 0 \rightarrow cog = \alpha + 90 \\ \text{if } X < 0, Y > 0 \rightarrow cog = \alpha + 270 \\ \text{if } X < 0, Y < 0 \rightarrow cog = \alpha - 270 \end{cases} \quad (2)$$

- با فرض سرعت ۱۰ گره دریابی به عنوان سرعت معمول شناورهای سنتی، اختلاف زمانی بین هر دو مشخصات متوالی ($\Delta t_{i,i+1}$) به صورت زیر محاسبه می‌شود.

$$D_{i,i+1} = \sqrt{(x_{i+1} - x_i)^2 + (y_{i+1} - y_i)^2} \quad (3)$$

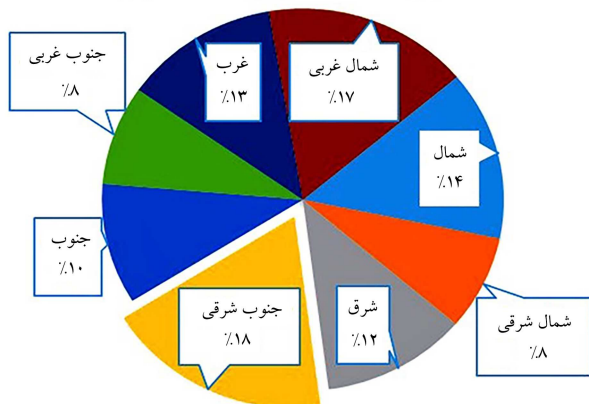
$$\Delta t_{i,i+1} = \frac{D_{i,i+1}}{V_a}$$

که در این رابطه $D_{i,i+1}$ فاصله‌ی بین دو نقطه‌ی متوالی و V_a سرعت متوسط شناور فاقد AIS است.

۴. با توجه به زمان حرکت شناور در مرازهای منطقه زمان‌های متناظر با نقاط بعدی به صورت زیر محاسبه می‌شوند:

جدول ۳. گروه‌بندی زاویه‌ی معرف مسیر شناورها.

زاویه معرف مسیر (درجه)	طبقه‌بندی
شمال	۲۲,۵ تا ۳۳۷,۵
شمال شرقی	۶۷,۵ تا ۲۲,۵
شرق	۱۱۲,۵ تا ۶۷,۵
جنوب شرقی	۱۵۷,۵ تا ۱۱۲,۵
جنوب	۲۰,۵ تا ۱۵۷,۵
جنوب غربی	۲۴۷,۵ تا ۲۰,۵
غرب	۲۹۲,۵ تا ۲۴۷,۵
شمال غربی	۲۳۷,۵ تا ۲۹۲,۵



شکل ۵. نمودار توزیع جهت شناورها در منطقه‌ی مورد مطالعه.

۳. شبیه‌سازی ترافیک شناورهای غیرکنوانسیونی

طبق آمار سازمان بنادر و دریانوردی ایران حدود ۸۳٪ شناورهای کوچک ثبت شده در ناوگان حمل و نقل دریابی ایران را شناورهای سنتی به نام لنج تشکیل می‌دهند که شامل لنجهای باری و صیادی هستند. این شناورها در زمرة‌ی شناورهای غیرکنوانسیونی قرار دارند و فاقد سیستم شناسایی خودکار هستند. و از سیستم موقعیت‌یابی جهانی (GPS)، چارت دریابی^{۱۵} و قطب‌نمای مغناطیسی^{۱۶} برای ناوبری استفاده می‌کنند. لنجهای باری که ظرفیت حمل بارشان بین ۴۰۰ تا ۱۵۰ تن است نقش مهمی در جابه‌جایی کالا بین بنادر واقع در سواحل شمالی و جنوبی خلیج فارس دارند. سرعت این شناورها از ۷ تا ۱۶ گره دریابی (با سرعت معمول ۱۰ گره دریابی) متغیر است. در این پژوهش بندر شهید باهنر به عنوان بندر طرح در نظر گرفته شده است: اطلاعات خروج لنجهای باری از این بندر در بازه‌ی زمانی ۱۰ تیر تا ۱۵ مرداد سال ۱۳۹۷ (مقارن با ماه جولای ۲۰۱۸) مورد تحلیل قرار گرفته است. بر اساس این اطلاعات ۱۷۲ ورود/خروج لنج باری در این بازه‌ی زمانی ثبت شده است. همچنین بر اساس تحقیقات میدانی و مصاحبه با ناوبرها حدود سه مسیر اصلی تردد در منطقه‌ی مورد مطالعه برای این نوع شناورها مطابق شکل ۶ تعیین شده است.

همچنین مطابق جدول ۴ این استناد، مشخصات مربوط به یک نمونه از لنج باری را نشان می‌دهد که به عنوان شناور طرح در این پژوهش در نظر گرفته شده است. در این پژوهش مدلی برای شبیه‌سازی ترافیک این نوع شناورها به صورت گام‌های زیر ارائه می‌شود.

۴.۲ تعیین تعداد مواجهه‌های نزدیک به تصادم

برای آنکه مواجهه‌ی دو کشتی به عنوان مواجهه‌ی نزدیک به تصادم لحاظ شود، دو شرط لازم است:

- شرط اول: دامنه‌ی این کشتی میزبان توسط کشتی هدف نقض شود (شرط نقض دامنه):

- شرط دوم: دو کشتی در حال نزدیک شدن به یکدیگر باشند (شرط هم‌گرایی). در این مطالعه مدل دامنه‌ی این چهاربخشی فازی $^{20} \text{ ونگ } (2010)$ به عنوان معیاری (شرط اول) برای تعیین تعداد مواجهه‌های نزدیک به تصادم پیشنهاد می‌شود. روابط این دامنه‌ی این به صورت زیر است:^[۱۶]

$$f_{ce}(x, y, Q(r)) = \begin{cases} \left(\frac{x}{(1 + \text{sgn}x)R_{for}(r) - (1 - \text{sgn}x)R_{aft}(r)} \right)^2 \\ + \left(\frac{y}{(1 + \text{sgn}y)R_{starb}(r) - (1 - \text{sgn}y)R_{port}(r)} \right)^2 \end{cases} \quad (19)$$

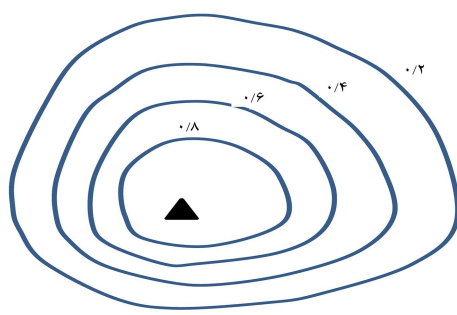
If $f(x, y, Q(r)) \leq 1 \rightarrow$ Domain violation

$$R_i(r) = \left(\frac{\ln \frac{1}{r}}{\ln \frac{1}{r_*}} \right)^{\frac{1}{\gamma}} R_i, \quad i \in \{fore, aft, starb, port\} \quad (20)$$

$$r_* = 0.5$$

$$\begin{cases} R_{fore} = \left(1 + 1.34 \sqrt{1.55 V_{own}^{0.72} + 0.17 V_{own}^{1.04}} \right) L \\ R_{aft} = \left(1 + 0.67 \sqrt{1.55 V_{own}^{0.72} + 0.17 V_{own}^{1.04}} \right) L \\ R_{starb} = (0.2 + 0.83 V_{own}^{0.542}) L \\ R_{port} = (0.2 + 0.62 V_{own}^{0.542}) L \end{cases} \quad (21)$$

در جلوی کشتی و عقب کشتی و سمت راست کشتی و سمت چپ کشتی است. ونگ (2010) در مدل خود از یک عامل فازی (r) استفاده می‌کند که مقیاس دامنه‌ی کشتی را تعیین می‌کند. به طوری که با افزایش این عامل شعاع‌های دامنه‌ی این کوچک‌تر و وضعیت مواجهه‌ی بین دو کشتی شدیدتر می‌شود. برای طبقه‌بندی وضعیت‌های مواجهه‌ی دو کشتی به چهار وضعیت باشد که شدت کم، شدت متوسط، شدت زیاد و شدت خیلی زیاد مطابق شکل ۷ عامل فازی (r) در رابطه‌ی 9 به ترتیب R_{fore} و R_{aft} و R_{starb} و R_{port} به ترتیب شعاع‌های دامنه‌ی این



شکل ۷. دامنه‌ی این فازی.

$$\begin{cases} t_i = t_{start} \\ t_{i+1} = t_i + \Delta t_{i,i+1} \end{cases} \quad (4)$$

به منظور تعیین سایر مختصات حرکت شناور بین هر دو مختصات متوالی تعیین شده از روش شبیه‌سازی مونت‌کارلو، درون‌یابی با استفاده از روش مجموع میانگین وزنی بر اساس قوانین حرکت نیوتون (رجوع به بخش ۲.۳.۲) انجام می‌شود.

۱.۳.۲ شبیه‌سازی مونت‌کارلو

به منظور تعیین موقعیت شناور به صورت مختصات جغرافیایی طولی و عرضی در هر ناحیه، از یکی از روش‌های شبیه‌سازی مونت‌کارلو استفاده می‌شود. تعدادی روش برای شبیه‌سازی مونت‌کارلو وجود دارد مثل: نمونه‌برداری Gibbs، نمونه‌برداری Metropolis-Hastings [۲۷]. Slice استفاده می‌شود که این روش نمونه‌برداری می‌تواند داده‌های تصادفی از یکتابع توزیع احتمال دلخواه تولید کند. روش نمونه‌برداری Slice در مقایسه با دو روش دیگر ساده‌تر و کارآمدتر است. مراحل این روش نمونه‌برداری، به صورت زیر است.^[۲۸]

- ابتدا یک مقدار اولیه x_0 از دامنه‌ی تابع توزیع احتمال $f(x)$ انتخاب می‌شود. توزیع احتمال در این پژوهش به صورت توزیع یکنواخت فرض می‌شود. دامنه‌های این توزیع مختصات جغرافیایی نواحی تعیین شده در منطقه‌ی مورد مطالعه است:
- یک سطح قائم y ، به صورت یکنواخت بین $((x_0, f(x_0)))$ برای تعریف Slice افقی کشیده می‌شود. متغیر کمکی y در هر مرحله تکرار می‌شود:

$$S_{horizontal} = \{x | y < f(x)\}$$

- یک بازه، $I = (L, R)$ ، به دور مقدار اولیه (x_0) تعریف می‌کنیم. این بازه تا حد امکان باید شامل Slice افقی باشد تا اجازه دهد مقدار جدید (x_1) متفاوت از مقدار اولیه (x_0) باشد. البته باید از این‌که بازه خیلی بزرگ‌تر از Slice افقی باشد، اجتناب شود؛ زیرا باعث کاهش کارآمدی مرحله‌ی بعدی نمونه‌برداری می‌شود. در این مقاله $L = \sup(s)$ و $R = \inf(s)$ در نظر گرفته می‌شود؛
- مقدار جدید x در بازه‌ی I انتخاب می‌شود.

۲.۳.۲ درون‌یابی داده‌ها

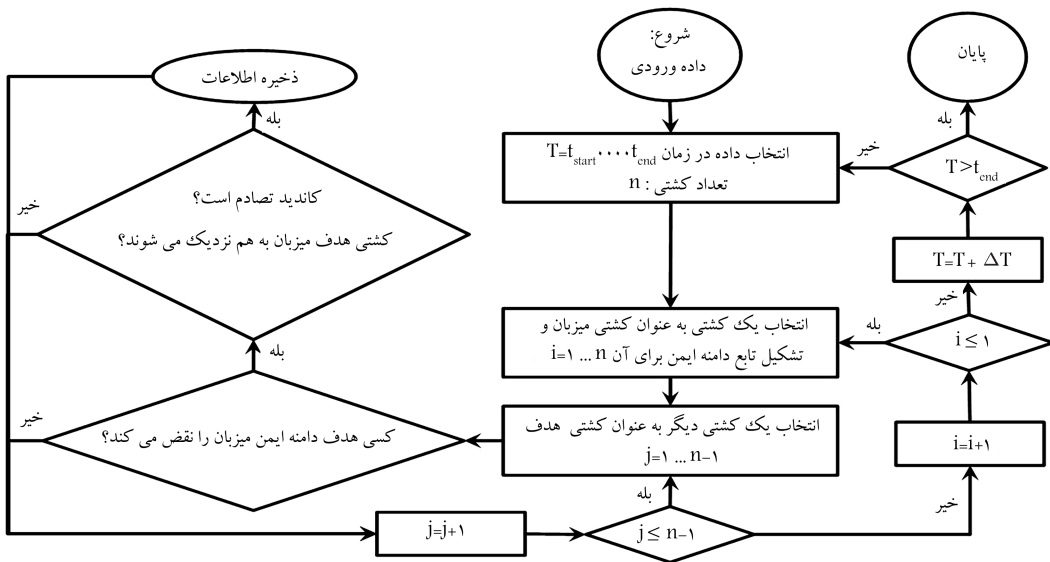
برای افزایش تعداد داده‌ی لازم است عمل درون‌یابی بین هر دو مختصات متوالی شناور (cog_i, t_i, x_i, y_i) و $(cog_{i+1}, t_{i+1}, x_{i+1}, y_{i+1})$ و برای تخمین موقعیت شناور در گام‌های زمانی ۱ دقیقه انجام شود. پیشنهاد این مطالعه استفاده از روش مجموع میانگین وزنی بر اساس قوانین حرکت نیوتون به صورت زیر است.^[۱۷]

$$x_{t_j} = \begin{cases} x_j, \text{ if } x_j < x_{i+1} \text{ or } x_j > x_i \\ x_i + \frac{(t_j - t_i) \times (x_{i+1} - x_i)}{t_{i+1} - t_i}, \text{ otherwise} \end{cases} \quad (5)$$

$$y_{t_j} = \begin{cases} y_j, \text{ if } y_j < y_{i+1} \text{ or } y_j > y_i \\ y_i + \frac{(t_j - t_i) \times (y_{i+1} - y_i)}{t_{i+1} - t_i}, \text{ otherwise} \end{cases} \quad (6)$$

$$x_j = \frac{1}{3} \left(\begin{array}{l} \left(x_i + \frac{(t_j - t_i) \times (x_{i+1} - x_i)}{t_{i+1} - t_i} \right) + \\ \left(x_i + v \times \sin(cog_i) \times (t_j - t_i) \right) + \\ \left(x_{i+1} - v \times \sin(cog_i) \times (t_{i+1} - t_j) \right) \end{array} \right) \quad (7)$$

$$y_j = \frac{1}{3} \left(\begin{array}{l} \left(y_i + \frac{(t_j - t_i) \times (y_{i+1} - y_i)}{t_{i+1} - t_i} \right) + \\ \left(y_i + v \times \cos(cog_i) \times (t_j - t_i) \right) + \\ \left(y_{i+1} - v \times \cos(cog_i) \times (t_{i+1} - t_j) \right) \end{array} \right) \quad (8)$$



شکل ۸. الگوریتم تعیین تعداد مواجهه‌های (کاندیداهای) نزدیک به تصادم.

جدول ۵. نتایج تعداد مواجهه‌های نزدیک به تصادم در دو حالت: حالت اول: بدون در نظر گرفتن شناورهای غیرکنوانسیونی؛ حالت دوم: با در نظر گرفتن شناورهای غیرکنوانسیونی.

نرخ افزایش (درصد)	حالات دوم	حالات اول	شدت مواجهه
۲۰	۳۰	۲۵	کم
۲۳/۵	۲۱	۱۷	متوسط
۱۵	۱۵	۱۳	زیاد
۱۱	۱۰	۹	خیلی زیاد

۲۳٪ و با شدت زیاد و خیلی زیاد به ترتیب ۱۵٪ و ۱۱٪ افزایش می‌یابد که این نشان‌دهنده‌ی اثر قابل ملاحظه‌ی این نوع شناورها در ریسک تصادم منطقه دارد. نقشه‌ی چگالی مواجهه‌های نزدیک به تصادم برای وضعیت مواجهه با شدت متوسط ($r = 0,5$) به طور جداگانه برای هر دو منطقه‌ی مورد مطالعه ترسیم شد. بدین منظور منطقه‌ی مورد مطالعه به دو منطقه‌ی کوچک تر ۱ و ۲ تقسیم می‌شود و هر کدام از دو منطقه شبكه‌بندی می‌شوند. در نتیجه‌ی این شبکه‌بندی، منطقه‌ی ۱ دارای ۳۰ سلول و منطقه‌ی ۲ دارای ۳۵ سلول است. اندازه‌ی هر سلول $1/3 \times 1/3$ مایل دریایی است. که این اندازه براساس زمان $1/3$ ساعت و سرعت متوسط ۴ گره دریایی برای عبور شناور از هر سلول تنظیم شده است. برای حالت بدون در نظر گرفتن شناورهای غیرکنوانسیونی، در منطقه‌ی ۱ (مطابق شکل ۹) سلول از ۳۰ سلول منطقه درگیر در مواجهه‌های نزدیک به تصادم هستند (سلول‌های ۸، ۷، ۱۳، ۱۷ و ۱۸) که بیشترین تعداد مواجهه‌های نزدیک به تصادم در سلول ۸ قرار دارد. در حالی‌که در منطقه‌ی ۲ (مطابق شکل ۱۰) سلول درگیر در مواجهه‌های نزدیک به تصادم شناورها در منطقه‌ی مورد مطالعه نشان ارزیابی مواجهه‌های نزدیک به تصادم شناورها در منطقه‌ی مورد مطالعه نشان می‌دهد که با در نظر گرفتن شناورهای غیرکنوانسیونی تعداد مواجهه‌های نزدیک به تصادم فقط در منطقه‌ی ۲ افزایش می‌یابد. با مقایسه‌ی نقشه‌های چگالی

برای کنترل این که آیا دو کشته در حال نزدیک شدن به یکدیگر هستند یا نه (شرط دوم)، باید فاصله‌ی دو کشته در دو زمان متوالی به صورت زیر محاسبه و با یکدیگر مقایسه شوند.

$$\begin{aligned}
 D_{T_i} &= \sqrt{(x_{ts,T_i} - x_{os,T_i})^2 + (y_{ts,T_i} - y_{os,T_i})^2} \\
 D_{T_{i+1}} &= \sqrt{(x_{ts,T_{i+1}} - x_{os,T_{i+1}})^2 + (y_{ts,T_{i+1}} - y_{os,T_{i+1}})^2} \\
 \text{if } D_{T_{i+1}} < D_{T_i} \rightarrow Approaching
 \end{aligned} \quad (12)$$

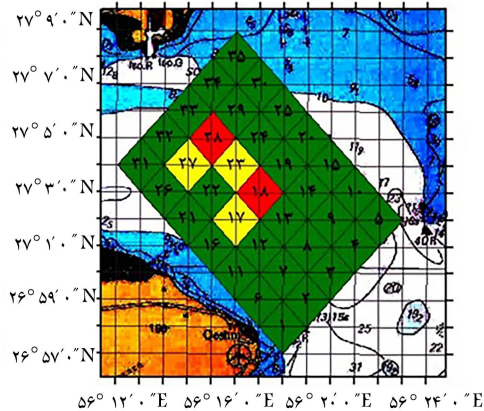
در این رابطه D_{T_i} و $D_{T_{i+1}}$ فاصله‌ی دو کشته در دو زمان متوالی (i و $i+1$) و ts و os به ترتیب نشان‌دهنده‌ی کشته میزبان و کشته هدف است (y و x) و نشان‌دهنده‌ی مختصات جغرافیایی کشته‌هاست. روند تعیین تعداد مواجهه‌های نزدیک به تصادم در الگوریتم شکل ۸ نشان داده شده است.

۳. نتایج و بحث

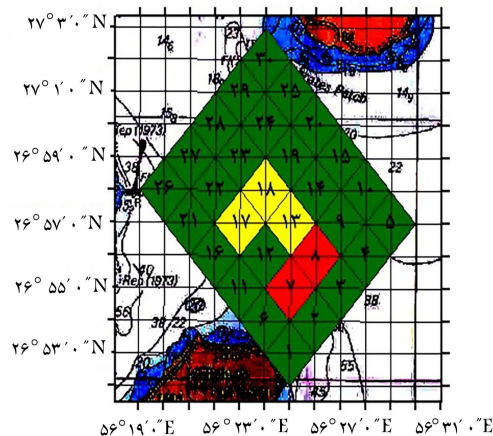
در این پژوهش مواجهه‌های نزدیک به تصادم شناورها در دو حالت ارزیابی شده است:

- حالت اول: مواجهه بین شناورها بدون در نظر گرفتن شناورهای غیرکنوانسیونی؛
 - حالت دوم: مواجهه بین شناورها با در نظر گرفتن شناورهای غیرکنوانسیونی.
- در هر دو حالت تعداد مواجهه‌های نزدیک به تصادم بر اساس شدت مواجهه‌های چهارگانه (مواجهة با شدت کم، ۲۱ مواجهه با شدت متوسط، ۲۲ مواجهه با شدت زیاد ۲۳ و مواجهه با شدت خیلی زیاد ۲۴) تخمین زده شده است که نتایج در جدول ۵ ارائه شده است.

مطابق جدول ۵ با در نظر گرفتن شناورهای غیرکنوانسیونی، تعداد مواجهه‌های نزدیک به تصادم در وضعیت مواجهه با شدت کم ۲۰٪ و با شدت متوسط



شکل ۱۱. نقشه‌ی چگالی مواجهه‌های نزدیک به تصادم با در نظر گرفتن شناورهای غیرکنوانسیونی در منطقه‌ی ۲.

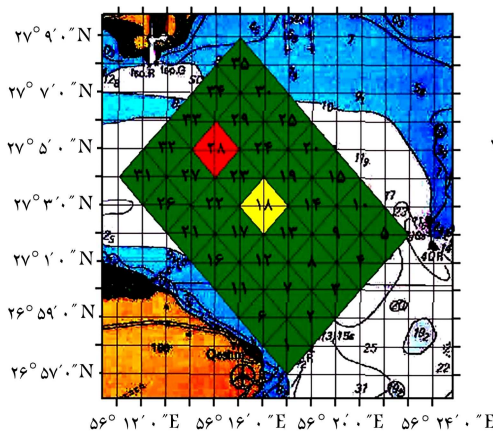


شکل ۹. نقشه‌ی چگالی مواجهه‌های نزدیک به تصادم شناورها در منطقه‌ی ۱.

۴. نتیجه‌گیری

هدف مطالعه‌ی حاضر، ارائه‌ی مدلی بر اساس روش شبیه‌سازی مونت‌کارلو و روش مجموع میانگین وزنی (قوایین حرکت نیوتون) برای شبیه‌سازی شناورهای قادر سیستم شناسایی خودکار است. اطلاعات ورودی این مدل بر اساس تحقیقات میدانی جمع‌آوری شد. اگرچه استفاده از روش شبیه‌سازی مونت‌کارلو در تحقیقات مرتبط با ترافیک دریایی سابقه داشته است، با این حال برای نخستین بار از این روش برای شبیه‌سازی ترافیک شناورهای غیرکنوانسیونی استفاده شده است. همچنین در این مطالعه برای تعیین تعداد مواجهه‌های نزدیک به تصادم مدلی بر اساس نظریه‌ی دامنه‌ی این فازی ساخته شده است و تعداد مواجهه‌های نزدیک به تصادم در دو حالت بدون و با در نظر گرفتن شناورهای غیرکنوانسیونی تعیین و نتایج مقایسه شد. نتایج نشان‌دهنده‌ی اثر قابل ملاحظه‌ی شناورهای غیرکنوانسیونی در افزایش تعداد مواجهه‌های نزدیک به تصادم در منطقه‌ی مورد مطالعه است. در نهایت با استفاده از نرم افزار Arc Map نقشه‌ی چگالی مواجهه‌های نزدیک به تصادم ترسیم و نواحی پرخطر در منطقه در هر دو حالت تعیین شد.

تعیین مواجهه‌های نزدیک به تصادم با در نظر گرفتن انواع دیگر شناورهای غیرکنوانسیونی (از جمله لنجهای صیادی) و سایر بنادر پهلوگیری این نوع شناورها با استفاده از مدل پیشنهادی بهمنظر ارزیابی رسک تصادم در منطقه‌ی مورد مطالعه می‌تواند موضوع تحقیقات آتی باشد.



شکل ۱۰. نقشه‌ی چگالی مواجهه‌های نزدیک به تصادم بدون در نظر گرفتن شناورهای غیرکنوانسیونی در منطقه‌ی ۲.

مواجهه‌های نزدیک به تصادم در منطقه‌ی ۲، در دو حالت بدون و با در نظر گرفتن شناورهای غیرکنوانسیونی، (شکل ۱۰ و شکل ۱۱)، می‌توان گفت که با در نظر گرفتن شناورهای غیرکنوانسیونی (نسبت به حالت بدون در نظر گرفتن این نوع شناورها)، تعداد سلول‌های درگیر در مواجهه‌های نزدیک به تصادم از ۲ سلول به ۵ سلول افزایش می‌یابد. (سلول‌های ۱۷ و ۲۳ و ۲۷ درگیر در مواجهه‌ی نزدیک به تصادم می‌شوند).

پانوشت‌ها

1. distance at closest point of approach (DCPA)
2. time to closest point of approach (TCPA)
3. time to safe distance (TDS)
4. degree of domain violation (DDV)
5. time to domain violation (TDV)
6. automatic identification system (AIS)
7. fishing vessel
8. cargo vessel
9. analytic hierarchy process (AHP)
10. Musandam

11. very high frequency (VHF)
12. latitude and longitude
13. course over ground
14. global positioning system (GPS)
15. nautical chart
16. magnetic compass
17. departure time
18. longitude and latitude
19. course over ground (COG)
20. fuzzy quaternion ship domain (FQSD)
21. low conflict severity
22. medium conflict severity
23. high conflict severity

منابع (References)

24. highest conflict severity
18. Wang, Y., Chin, H.-C. "An empirically-calibrated ship domain as a safety criterion for navigation in confined waters", *The Journal of Navigation*, **69**(2), pp. 257-276 (2016).
19. Silveira, P., Teixeira, A. and Soares, C.G. "Use of AIS data to characterise marine traffic patterns and ship collision risk off the coast of Portugal", *The Journal of Navigation*, **66**(6), pp. 879-898 (2013).
20. Xiao, F., Littering, H., Van, C. and et al. "Comparison study on AIS data of ship traffic behavior", *Ocean Engineering*, **95**, pp. 84-93 (2015).
21. Wu, X., Mehta, A.L., Zaloom, V.A. and et al. "Analysis of waterway transportation in southeast Texas waterway based on AIS data", *Ocean Engineering*, **121**, pp. 196-209 (2016).
22. Weng, J., Meng, Q. and Qu, X. "Vessel collision frequency estimation in the Singapore Strait", *The Journal of Navigation*, **65**(2), pp. 207-221 (2012).
23. Zhang, W., Goerlandt, F., Kujala, P. and et al. "An advanced method for detecting possible near miss ship collisions from AIS data", *Ocean Engineering*, **124**, pp. 141-156 (2016).
24. Zhang, W., Kopca, C., Tang, J. and et al. "A systematic approach for collision risk analysis based on AIS data", *The Journal of Navigation*, **70**(5), pp. 1117-1132 (2017).
25. Zhang, W., Feng, X., Qi, Y. and et al. "Towards a model of regional vessel near-miss collision risk assessment for open waters based on AIS data", *The Journal of Navigation*, **72**(6), pp. 1449-1468 (2019).
26. Hsu, Y. and Shinoda, T. "Safety assessment with marine casualty data on collision accidents between fishing vessels and cargo vessels", *In The Nineteenth International Offshore and Polar Engineering Conference*, International Society of Offshore and Polar Engineers (2009).
27. Oh, J.-H., Kim, K.-I., J.-S. J. I. o. e.-n. Jeong, m. economy, "A study on the risk analysis based on the trajectory of fishing vessels in the VTS area", **2**, pp. 38-46 (2015).
28. An, K. "E-navigation services for non-SOLAS ships", *International Journal of e-Navigation and Maritime Economy*, **4**, pp. 13-22 (2016).
29. Yoo, S.-L. J. O. E. "Near-miss density map for safe navigation of ships", *Ocean Engineering*, **163**, pp. 15-21 (2018).
30. Pietrzykowski, Z. "Ship's fuzzy domain—a criterion for navigational safety in narrow fairways", *The Journal of Navigation*, **61**(3), pp. 499-514 (2008).
31. Hansen, M.G., Jensen, T.K., Lehn-Schiøler, T. and et al. "Empirical ship domain based on AIS data", *The Journal of Navigation*, **66**(6), pp. 931-940 (2013).
32. Rawson, A., Rogers, E., Foster, D. and et al. "Practical application of domain analysis: port of London case study", *The Journal of Navigation*, **67**(2), pp. 193-209 (2014).
33. Liu, J., Zhou, F., Li, Z. and et al. "Dynamic ship domain models for capacity analysis of restricted water channels", *The Journal of Navigation*, **69**(3), pp. 481-503 (2016).
1. Kaneko, F. "Estimation of dangerous encounters' number from observed ship trajectories", *In Proc. of 4th Int. Conf. on Collision and Grounding of ships* (2007).
2. Debnath, A. K. and Chin, H.C. "Navigational traffic conflict technique: a proactive approach to quantitative measurement of collision risks in port waters", *The Journal of Navigation*, **63**(1), pp. 137-152 (2010).
3. Lee, H.-J. and Rhee, K.P. "Development of collision avoidance system by using expert system and search algorithm", *International Shipbuilding Progress*, **48**(3), pp. 197-212 (2001).
4. Lenart, A. S. "Analysis of collision threat parameters and criteria", *The Journal of Navigation*, **68**(5), pp. 887-896 (2015).
5. Szlapczynski, R. and Szlapczynska, J. "An analysis of domain-based ship collision risk parameters", *Ocean Engineering*, **126**, pp. 47-56 (2016).
6. Macduff, T. "The probability of vessel collisions", *Ocean Industry*, **9**(9), pp. 144-148 (1974).
7. Fowler, T. G. and Sørgård, E. "Modeling ship transportation risk", *Risk Analysis*, **20**(2), pp. 225-244 (2000).
8. Pedersen, P.T. "Ship collision and grounding analysis", *In 5th International Conference on Collision and Grounding of Ships*, pp. 34-48 (2010).
9. Montewka, J., Hinz, T., Kujala, P. and et al. "Probability modelling of vessel collisions", *Reliability Engineering & System Safety*, **95**(5), pp. 573-589 (2010).
10. Goodwin, E. M. "A statistical study of ship domains", *The Journal of Navigation*, **28**(3), pp. 328-344 (1975).
11. Szlapczynski, R. and Szlapczynska, J. "Review of ship safety domains: models and applications", *Ocean Engineering*, **145**, pp. 277-289 (2017).
12. Fujii, Y. and Tanaka, K. "Traffic capacity", *The Journal of Navigation*, **24**(4), pp. 543-552 (1971).
13. Coldwell, T. "Marine traffic behaviour in restricted waters", *The Journal of Navigation*, **36**(3), pp. 430-444 (1983).
14. Zhu, X., Xu, H. and Lin, J. "Domain and its model based on neural networks", *The Journal of Navigation*, **54**(1), pp. 97-103 (2001).
15. Pietrzykowski, Z. and Uryasz, J. "The ship domain—a criterion of navigational safety assessment in an open sea area", *The Journal of Navigation*, **62**(1), pp. 93-108 (2009).
16. Wang, N. "An intelligent spatial collision risk based on the quaternion ship domain", *The Journal of Navigation*, **63**(4), pp. 733-749 (2010).
17. Qu, X., Meng, Q. and Suyi, L. "Ship collision risk assessment for the Singapore strait", *Accident Analysis & Prevention*, **43**(6), pp. 2030-2036 (2011).

34. Dinh, G. H. and Im, N.-K. "The combination of analytical and statistical method to define polygonal ship domain and reflect human experiences in estimating dangerous area", *International Journal of e-Navigation and Maritime Economy*, **4**, pp. 97-108 (2016).
35. Mou, J. M., Van Der Tak, C. and Ligteringen, H.J.O.E. "Study on collision avoidance in busy waterways by using AIS data", **37**(5-6), *Ocean Engineering*, pp. 483-490 (2010).
36. Harati-Mokhtari, A., Wall, A., Brooks, P. and et al. "Automatic identification system (AIS): data reliability and human error implications", *the Journal of Navigation*, **60**(3), pp. 373-389 (2007).
37. Gilks, W. R., Richardson, S. and Spiegelhalter, D., *Markov Chain Monte Carlo in Practice*, Chapman and Hall/CRC (1995).
38. Neal, R. M. "Slice sampling", *Annals of statistics, Annals of statistics*, **31**(3), pp. 705-767 (2003).